































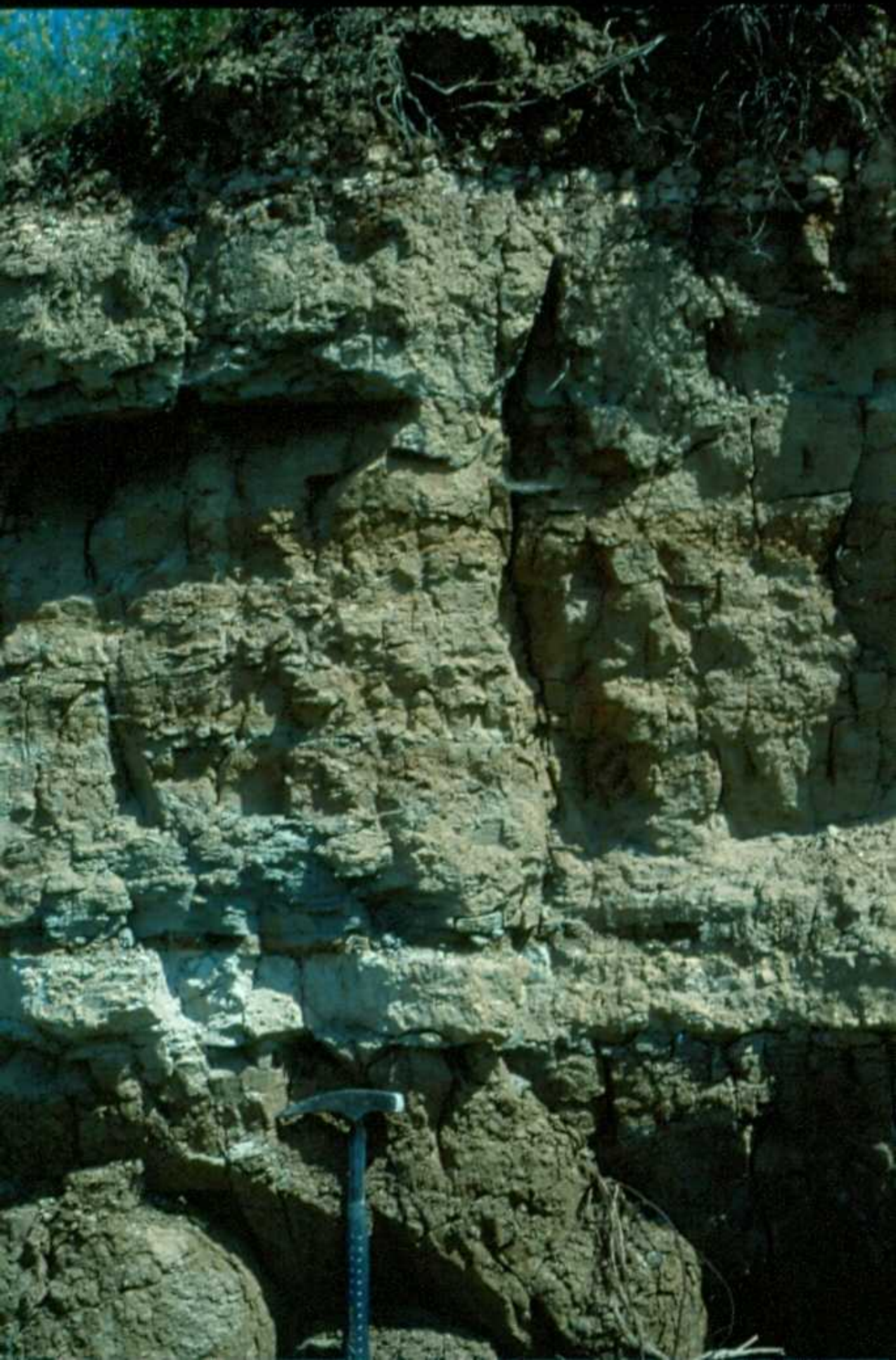












F-9101.- Llanura de inundación (39) (Vega) del rio Jarama. Al fondo Velilla de San Antonio.

F-9102.- Posible linea morfotectónica, margen derecha del rio Jarama. Facetas y valles colgados

F-9103.- Valle "colgado", desarrollado facies yesíferas (1) margen derecha del rio Jarama.

F-9104.- Limos yesíferos, cantos y bloques (depósitos de pie de talud 35). Margen inferior foto conglomerados, derrumbados, cementados con CO_3Ca, restos de la terraza a +7-9 m. (31). Margen derecha Jarama.

F-9105.- Suelo pardo rojizo fersialítico sobre la terraza compleja de - Velilla de San Antonio (33).

F-9106.- Suelo pardo rojizo fersialítico, enterrado por limos arenosos de ladera, entre Velilla y Mejorada

F-9107.- Terraza de la Granja a +130 m (19). Arenas, limos, conglomerados de aporte lateral y suelos pardos carbonatados.

F-9108.- Terra-rossa de Fondo de Dolina al SW de Pozuelo del Rey (38)

F-9109.- Vertisuelo de fondo de dolina. En el plano del horizonte rebor de descubierto de la misma.

F-9110.- En primer término barrancos de la margen izquierda del Henares Al fondo Cerro del Viso y glacis que se articula en su cara - Sur (32).

F-9111.- Depósitos de glacis (32) en el valle del rio Anchuelo. El Gurugú.

F-9112.- Depósitos de glacis (32). Valle del rio Anchuelo. El Gurugú

F-9113.- Paleocanal relleno de limos. suelos calcimorfos. Red Fluvial intramiocena (14). Campo Real

F-9114.- Paleocanal relleno de limos y suelos calcimorfos. Red Fluvial intramiocena (14). Campo Real.

F-9115.- Relleno de gravas y arenas en la Red Fluvial intramiocena (14) Campo Real.

F-9116.- Lutitas con cristales de yeso y margas yesíferas. Facies Blanca (11). Nuevo Baztán.

F-9117.- Niveles fluvio lacustres intensamente bioturbados. Unidad (9). Columna de Granja.

F-9118.- Aspecto de la unidad 9 fluviolacustre en la Columna de Granja

F-9119.- Aspecto de la unidad fluviolacustre (9) en la Columna de Granja.

F-9120.- Fallas rellenas de yeso fibroso en la Unidad 2. Norte del vértice de Granja, margen izquierda del Henares.

F-9121.- Detalle de la anterior. Yeso fibroso deformado mostrando el arrastre de la falla

F-9122 y F-9123.- Cuerpos canalizados rellenos de arena media de la unidad Alcalá superior (8). Cuesta de Zulema

F-9124 y F-9125.- Detalle del relleno de los paleocanales de la unidad 8. Estratificación cruzada de barras y climbing ripples. Cuesta de Zulema.

F-9126.- Paleocanal de la unidad 8 sobre fangos y suelos calcimorfos. Cuesta de Zulema.

F-9127 y F-9128.- Calizas palustre lacustres, intercaladas en las arcillas, limos y arenas micáceas de la Unidad Alcalá inferior (3).